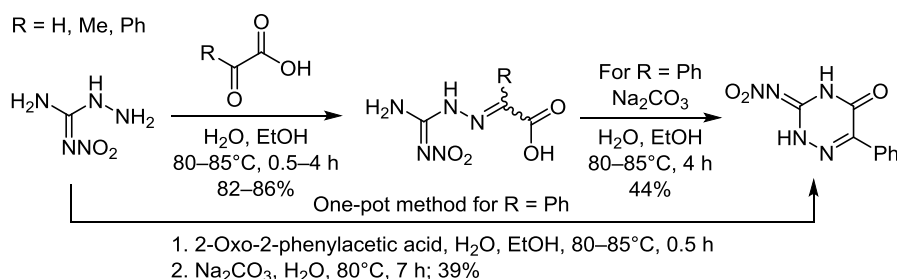


1-Амино-2-нитрогуанидин в реакциях с α -кетокислотами

Ольга Ю. Озерова¹, Татьяна П. Ефимова^{1*}, Тамара А. Новикова¹

¹ Российский государственный педагогический университет им. А. И. Герцена, наб. р. Мойки, 48, Санкт-Петербург 191186, Россия; e-mail: kohrgpu@yandex.ru

Поступило 25.07.2019
Принято после доработки 20.01.2020



В результате реакций 1-амино-2-нитрогуанидина с α -кетокислотами получены замещенные гидразоны α -кетокислот, циклизация которых зависит от геометрической конфигурации азометинового фрагмента молекулы. Установлено, что образующиеся гидразоны способны формировать 1,2,4-триазиную систему в случае *Z*(*син*)-изомерной формы гидразонового фрагмента их линейного предшественника. Так, гидразон фенилглиоксалевого кислоты, азометиновый блок которого имеет *Z*-форму, претерпевает гетероциклизацию с образованием замещенного 3-нитроамино-6-фенил-4,5-дигидро-1,2,4-триазин-5-(2*H*)-она, в то время как гидразоны глиоксалевого и метилглиоксалевого кислот, имеющие *E*-конфигурацию, в эту реакцию не вступают.

Ключевые слова: 1-амино-2-нитрогуанидин, гидразоны α -кетокислот, замещенные 1,2,4-триазины, α -кетокислоты.

Начиная с середины XX в. ведутся поиски биологически активных веществ среди линейных и циклических полиазотистых соединений, получаемых на основе 1-амино-2-нитрогуанидина.^{1–4} Так, гуанидилгидразоны, образующиеся в результате взаимодействия 1-амино-2-нитрогуанидина с альдегидами, проявили активность против штамма *Mycobacterium tuberculosis* H37Rv.¹ Представители ряда 1-амино-2-нитрогуанидинов зарекомендовали себя и в качестве инсектицидов.^{2,3} Аналогичную активность проявляют и нитроиминотриазины, полученные на основе гуанидилгидразонов.⁴

1-Амино-2-нитрогуанидин, являясь легкодоступным нуклеофильным реагентом, успешно введен в реакции с рядом электрофильных соединений: с производными моно-⁵ и дикарбонных кислот,⁶ нитроалкенами,^{7,8} карбонильными^{9–13} и дикарбонильными соединениями.^{14–19} Продолжая исследования в этом направлении, нами изучена реакция 1-амино-2-нитрогуанидина с α -кетокислотами (глиоксалевого, метилглиоксалевого и фенилглиоксалевого).

Взаимодействие 1-амино-2-нитрогуанидина (**1**) с α -кетокислотами успешно протекает в водной или водно-спиртовой среде при нагревании и в отсутствие катализатора, завершаясь образованием *N*-замещенных гидразонов α -кетокислот **2a–c** с выходами до 86%. Гидразон фенилглиоксалевого кислоты **2c** при дальнейшем нагревании в присутствии Na₂CO₃ претерпевает гетероциклизацию (при участии карбоксильной и первичной аминогрупп) с образованием 3-нитроамино-6-фенил-4,5-дигидро-1,2,4-триазин-5(2*H*)-она (**3**) (схема 1, метод I), его синтез может быть осуществлен и в одnoreактрном режиме (схема 1, метод II). Гидразоны глиоксалевого и метилглиоксалевого кислот **2a,b** в аналогичных условиях не циклизуются, что, может быть, связано с другой геометрической конфигурацией азометинового блока в этих структурах по сравнению с таковой в молекуле соединения **2c**. Хорошо известна зависимость возможности синтеза циклических структур от пространственного строения исходного реагента (реакция диенового синтеза). Так, [4+2]-циклоприсоединение реализуется

Результат находится в полном соответствии с эффектом Перлина $^1J_{\text{CH}_E} < ^1J_{\text{CH}_Z}$ и подтверждает правильность определенной другими способами геометрической конфигурации синтезированных гидразонов α -кетокротоновых кислот.

Таким образом, на основе реакции 1-амино-2-нитрогуанидина с α -кетокротоновыми кислотами показана возможность синтеза как линейных гидразонов, так и замещенного 1,2,4-триазин-5-она, синтез которого может быть осуществлен и односторонне. Следует отметить, что склонность линейных гидразонов к гетероциклизации зависит от их конфигурации. Так, гидразон фенилглиоксалевого кислоты, азометиновый блок которого имеет *Z*-конфигурацию, при нагревании в присутствии Na_2CO_3 претерпевает гетероциклизацию с образованием замещенного 3-нитроимино-6-фенил-4,5-дигидро-1,2,4-триазин-5-(2*H*)-она, в то время как гидразоны глиоксалевого и метилглиоксалевого кислот, имеющие *E*-конфигурацию, в эту реакцию не вступают.

Экспериментальная часть

ИК спектры записаны на фурье-спектрометре Shimadzu IR Prestige-21 в таблетках КВг. Электронные спектры поглощения записаны на спектрофотометре Shimadzu UV2401PC в растворе ДМСО в кварцевых кюветах (длина оптического пути 1.01 мм). Спектры ЯМР ^1H и ^{13}C (400 и 100 МГц соответственно), ^1H - ^{13}C HMQC, ^1H - ^{13}C HMBC, ^1H - ^1H COSY и NOESY зарегистрированы на спектрометре Jeol ECTX400A в ДМСО-*d*₆. В качестве стандарта использованы остаточные сигналы недеитерированного растворителя (2.47 м. д. для ядер ^1H), или сигналы дейтерированного растворителя (40 м. д. для ядер ^{13}C). Элементный анализ выполнен на анализаторе EuroVector EA3000 (CHN Dual).

1-Амино-2-нитрогуанидин (**1**) синтезирован по литературной методике.²⁸

[2-(*N'*-Нитрокарбамимидоил)гидразинилиден]-уксусная кислота (2a). К суспензии 410 мг (3.5 ммоль) 1-амино-2-нитрогуанидина (**1**) в 10 мл H_2O при перемешивании прикапывают 0.51 мл (3.5 ммоль) 40% водного раствора глиоксалевого кислоты. Реакционную смесь выдерживают в течение 30 мин при температуре 80–85 °С, затем охлаждают до комнатной температуры и выпавший кристаллический осадок отфильтровывают. Выход 500 мг (82%), т. пл. 190–191 °С (с разл., H_2O) (т. пл. 192 °С (с разл., H_2O)⁶). ИК спектр, ν , cm^{-1} : 1718 (C=O), 1643 (C=N), 1348 и 1405 (C=NNO₂), 3261–3327 (N–H), 3433 (OH). УФ спектр, λ_{max} , нм (ϵ , л·моль⁻¹·см⁻¹): 293.5 (2550). Спектр ЯМР ^1H , δ , м. д.: 7.33 (1H, с, =CH); 8.71 (1H, уш. с, NH₂); 9.10 (1H, уш. с, NH₂); 12.19 (1H, уш. с, NH); 12.70 (1H, уш. с, OH). Спектр ЯМР ^{13}C , δ , м. д.: 136.5 (C=N); 158.5 (C=NNO₂); 164.0 (C=O). Найдено, %: C 20.36; H 3.01; N 40.22. C₃H₅N₅O₄. Вычислено, %: C 20.58; H 2.88; N 40.00.

2-[2-(*N'*-Нитрокарбамимидоил)гидразинилиден]-пропановая кислота (2b). К суспензии 240 мг (2 ммоль) 1-амино-2-нитрогуанидина (**1**) в 10 мл H_2O при перемешивании прикапывают 180 мг (2 ммоль) 98% водного раствора метилглиоксалевого кислоты в 10 мл

EtOH. Реакционную смесь выдерживают в течение 4 ч при температуре 80–85 °С, затем охлаждают до комнатной температуры и выпавший кристаллический осадок отфильтровывают. Выход 310 мг (82%), т. пл. 174–176 °С (с разл., H_2O) (т. пл. 181.5 °С (MeOH)²⁹). ИК спектр, ν , cm^{-1} : 1731 (C=O), 1648 (C=N), 1337 и 1433 (C=NNO₂), 3229–3375 (N–H), 3480 (OH). УФ спектр, λ_{max} , нм (ϵ , л·моль⁻¹·см⁻¹): 294 (24960). Спектр ЯМР ^1H , δ , м. д.: 2.04 (3H, с, NH₃); 9.11 (1H, уш. с, NH₂); 9.23 (1H, уш. с, NH₂); 11.20 (1H, уш. с, NH); 12.35 (1H, уш. с, OH). Спектр ЯМР ^{13}C , δ , м. д.: 13.0 (CH₃); 144.1 (C=N); 159.0 (C=NNO₂); 164.8 (C=O). Найдено, %: C 24.90; H 3.45; N 37.47. C₄H₇N₅O₄. Вычислено, %: C 25.40; H 3.73; N 37.03.

[2-(*N'*-Нитрокарбамимидоил)гидразинилиден]-2-фенилуксусная кислота (2c). К суспензии 500 мг (4.2 ммоль) 1-амино-2-нитрогуанидина (**1**) в 10 мл H_2O при перемешивании прикапывают 630 мг (4.2 ммоль) раствора фенилглиоксалевого кислоты в 10 мл EtOH. Реакционную смесь выдерживают в течение 4 ч при температуре 80–85 °С, затем охлаждают до комнатной температуры и выпавший кристаллический осадок отфильтровывают. Выход 910 мг (86%), т. пл. 170–171 °С (с разл., EtOH). ИК спектр, ν , cm^{-1} : 1695 (C=O), 1624 (C=N), 1305 и 1408 (C=NNO₂), 3255–3370 (N–H), 3449 (OH). УФ спектр, λ_{max} , нм (ϵ , л·моль⁻¹·см⁻¹): 294 (25000). Спектр ЯМР ^1H , δ , м. д.: 7.33–7.83 (5H, м, H Ph); 8.37 (1H, уш. с, NH₂); 8.61 (1H, уш. с, NH₂); 12.82 (1H, уш. с, NH). Спектр ЯМР ^{13}C , δ , м. д.: 128.9 (2C); 130.6; 133.8 (C Ph); 145.2 (C=N); 158.3 (C=NNO₂); 164.0 (C=O). Найдено, %: C 42.96; H 3.63; N 27.81. C₉H₉N₅O₄. Вычислено, %: C 43.03; H 3.61; N 27.88.

3-Нитроимино-6-фенил-4,5-дигидро-1,2,4-триазин-5-(2*H*)-он (3). Метод I. К 200 мг (0.8 ммоль) [2-(*N'*-нитрокарбамимидоил)гидразинилиден]-2-фенилуксусной кислоты (**2c**) добавляют раствор 80 мг (0.8 ммоль) Na_2CO_3 в 15 мл H_2O и 15 мл EtOH и кипятят реакционную смесь в течение 4 ч, затем охлаждают до комнатной температуры и подкисляют концентрированной HCl до pH 5 (по универсальному индикатору). Образовавшийся осадок отфильтровывают и промывают H_2O . Выход 80 мг (44%), т. пл. 228–229 °С (с разл., EtOH). ИК спектр, ν , cm^{-1} : 1710 (C=O), 1588 (C=N), 1313 и 1414 (C=NNO₂), 3214 (N–H). УФ спектр, λ_{max} , нм (ϵ , л·моль⁻¹·см⁻¹): 315.5 (18810). Спектр ЯМР ^1H , δ , м. д.: 7.48–7.92 (5H, м, H Ph); 13.81 (2H, уш. с, 2NH). Спектр ЯМР ^{13}C , δ , м. д.: 128.8; 129.0; 131.1; 131.8 (C Ph); 147.9 (C-6); 152.4 (C-3); 153.9 (C-5). Найдено, %: C 46.21; H 3.12; N 29.97. C₉H₇N₅O₃. Вычислено, %: C 46.36; H 3.03; N 30.03.

Метод II. К суспензии 240 мг (2 ммоль) 1-амино-2-нитрогуанидина (**1**) в 10 мл H_2O при перемешивании прикапывают 300 мг (2 ммоль) раствора фенилглиоксалевого кислоты в 10 мл EtOH. Реакционную смесь выдерживают в течение 30 мин при температуре 80–85 °С, затем добавляют раствор 210 мг (2 ммоль) Na_2CO_3 в 5 мл H_2O и кипятят в течение 7 ч. После охлаждения до комнатной температуры раствор подкисляют концентрированной HCl до pH 5 (по универсальному индикатору), образовавшийся осадок отфильтровывают, промы-

вают H₂O и сушат на воздухе. Выход 180 мг (39%), т. пл. 226–228 °С (с разл., EtOH). Смесевая проба образцов, полученных методами I и II, депрессии температуры плавления не дает.

Файл сопроводительных материалов, содержащий спектры ЯМР ¹H и ¹³C соединений **2a–c**, **3**, доступен на сайте журнала <http://hgs.osi.lv>.

Список литературы

- Kumler, W. D.; Sah, P. P. *J. Am. Pharm. Assoc.* **1952**, 41, 375.
- Qin, Z.; Ma, Y.; Su, W.; Wang, L.; Zhang, Z.; Zhao, B.; Fang, J. US Patent 20110306639A1.
- Xue, S.-j.; Liu, L.; Bu, H.-f.; Xu, Y.-h. *J. Heterocycl. Chem.* **2013**, 50, 1333.
- Vaillancourt, V. A.; Larsen, S. D.; Tanis, S. P.; Burr, J. E.; Connell, M. A.; Cudahy, M. M.; Evans, B. R.; Fisher, P. V.; May, P. D.; Meglasson, M. D.; Robinson, D. D.; Stevens, F. G.; Tucker, J. A.; Vidmar, T. J.; Yu, J. H. *J. Med. Chem.* **2001**, 44, 1231.
- Efimova, T. P.; Ozerova, O. Yu.; Belik, I. V.; Novikova, T. A.; Berestovitskaya, V. M. *Russ. J. Gen. Chem.* **2012**, 82, 1409. [*Журн. общ. химии* **2012**, 82, 1330.]
- Metelkina, E. L.; Novikova, T. A.; Berdonosova, S. N.; Berdonosov, D. Yu. *Russ. J. Org. Chem.* **2005**, 41, 440. [*Журн. орган. химии* **2005**, 41, 447.]
- Efimova, T. P.; Ozerova, O. Yu.; Novikova, T. A.; Baichurin, R. I.; Berestovitskaya, V. M. *Russ. J. Gen. Chem.* **2014**, 84, 1496. [*Журн. общ. химии* **2014**, 84, 1268.]
- McKay, A. F. *Chem. Rev.* **1952**, 51, 301.
- Györgydeák, Z.; Holzer, W.; Thiem, J. *Carbohydr. Res.* **1997**, 302, 229.
- Metelkina, E. L.; Novikova, T. A.; Telenyuk, S. E. *Russ. J. Org. Chem.* **1999**, 35, 1587. [*Журн. орган. химии* **1999**, 35, 1619.]
- Su, W.; Zhou, Y.; Ma, Y.; Wang, L.; Zhang, Z.; Rui, C.; Duan, H.; Qin, Z. *J. Agric. Food Chem.* **2012**, 60, 5028.
- Wu, B.; Yang, H.; Tang, Y.; Wang, Z.; Lu, C.; Cheng, G. *J. Energ. Mater.* **2015**, 33, 180.
- Golding, B.; Mitchinson, A.; Clegg, W.; Elsegood, M. J.; Griffin, R. *J. Chem. Soc., Perkin Trans. 1* **1999**, 349.
- Мазитова, А. К.; Хамаев, В. Х. *Несимметричные триазины. Получение, свойства и применение*; Реактив: Уфа, 1999.
- Castillo-Meléndez, J. A.; Golding, B. T. *Synthesis* **2004**, 1655.
- Metelkina, E. L. *Russ. J. Org. Chem.* **2008**, 44, 495. [*Журн. орган. химии* **2008**, 44, 500.]
- Astrat'ev, A.; Dashko, D.; Stepanov, A. *New Trends Res. Energ. Mater.* **2011**, 2, 469.
- Ozerova, O. Yu.; Efimova, T. P.; Novikova, T. A.; Gurzhii, V. V.; Berestovitskaya, V. M. *Russ. J. Gen. Chem.* **2015**, 85, 1623. [*Журн. общ. химии* **2015**, 85, 1099.]
- Ozerova, O. Yu.; Efimova, T. P.; Novikova, T. A. *Russ. J. Gen. Chem.* **2018**, 88, 1381. [*Журн. общ. химии* **2018**, 88, 1088.]
- Анисимова, Н. А.; Берестовицкая, В. М. *Функционализированные нитроалкены в реакциях диенового синтеза и 1,3-диполярного циклоприсоединения*; Астерион: Санкт-Петербург, 2008.
- Вассерман, А. *Реакция Дильса–Альдера*; Коган, Л. М., Темкин, О. Н., Ред.; Мир, 1968.
- Преч, Э.; Бюльманн, Ф.; Аффельтер, К. *Определение строения органических соединений. Таблицы спектральных данных*; Мир; БИНОМ. Лаборатория знаний, 2006.
- Сильверстейн, Р.; Вебстер, Ф.; Кимл, Д. *Спектрометрическая идентификация органических соединений*; БИНОМ. Лаборатория знаний, 2012.
- Воловенко, Ю. М.; Карцев, В. Г.; Комаров, И. В.; Туров, А. В.; Хиля, В. П. *Спектроскопия ядерного магнитного резонанса для химиков*; Международный благотворительный фонд "Научное партнерство": Москва, 2011.
- Krivdin, L. B.; Chernyshev, K. A.; Rosentsveig, G. N.; Ushakova, I. V.; Rosentsveig, I. B.; Levkovskaya, G. G. *Magn. Reson. Chem.* **2007**, 45, 980.
- Fraser, R. R.; Bresse, M. *Can. J. Chem.* **1983**, 61, 576.
- Takroui, K.; Chen, T.; Papadopoulos, E.; Sahoo, R.; Kabha, E.; Chen, H.; Cantel, S.; Wagner, G.; Halperin, J. A.; Aktas, B. H.; Chorev, M. *Eur. J. Med. Chem.* **2014**, 77, 361.
- Henry, R. A.; Makosky, R. C.; Smith, G. B. L. *J. Am. Chem. Soc.* **1951**, 73, 474.
- Whitmore, W. F.; Revukas, A. J.; Smith, G. B. L. *J. Am. Chem. Soc.* **1935**, 57, 706.